

# 유기전하이동착체 랭뮤어-블로젯 초박막의 광전도 특성

정 순 육

금오공과대학교 신소재시스템공학부  
(2001년 1월 31일 접수 ; 2001년 3월 1일 채택)

Photoelectric Properties of Organic Charge Transfer Complex Langmuir-Blodgett Ultra Thin Films

Soon-Wook Jeong

School of Advanced Materials & Systems Engineering, Kum Oh National University of Technology,

#188 sinpyung-dong, Kumi, Kyungbuk 730-701, Korea

(Received January 31, 2001 ; Accepted March 1, 2001)

**Abstract :** Ultra-thin films of organic charge transfer complex were prepared on a hydrophilic substrate by Langmuir-Blodgett(LB) technique. In this study, the photoelectric properties of a LB film consisting of (N-docosyl quinolinium)-TCNQ(1:2) complex was investigated. The visible light( $\lambda$ : 700 nm) of xenon lamp was illuminated on the LB films and light absorptivity and photoconductivity were observed. The photocurrent increased linearly and was saturated at the light intensity of  $23 \mu\text{W}/\text{cm}^2$ .

**Keywords :** Charge transfer complex, Langmuir-Blodgett, Photocurrent, (N-docosyl quinolinium)-TCNQ.

## 1. 서 론

전자 산업의 발달과 함께 반도체 소자가 점점 고속화, 고밀도화, 고집적화 및 미세화됨에 따라 신기능 소재의 개발과 microelectronics circuit 제조공정이 절실히 요구되고 있다. 이에 따라, 분자단위의 차원에서 제어 기능을 가진 유기 초박막 소자의 개발이 활발히 연구되고 있다[1,2]. 유기재료는 분자설계 및 합성이 다른 재료와 비교하여 비교적 간단하며 그 기능성 또한 풍부하여 유기분자 특유의

현상을 이용할 수 있으므로 분자 level에서의 기능성 재료로서도 기대되고 있다. 이러한 유기재료의 초박막을 제작하기 위한 기술 중 Langmuir-Blodgett(이하 LB)법은 수면 상에서의 흡착현상을 이용한 것으로 진공 증착법 등과 비교하면 에너지가 현저하게 적게 들며, 결합이 적은 막을 제작할 수 있을 뿐만 아니라, 비교적 간단한 실험 기술로 분자의 배열, 충진 및 분자간의 상호작용 등 많은 정보를 얻을 수 있다는 장점이 있다[3,4]. 이러한 LB 법은 subphase 위에 유기 단분자막을 형성하

고, 이를 기판 위에 누적하여 분자 두께의 단분자 층을 제작할 수 있고, 다층막으로 얼마든지 누적할 수 있어 소자화가 가능하다. 따라서 LB법은 앞으로 전자 산업의 신기능 소자의 개발에 중요한 기술이 될 것으로 기대된다.

7,7,8,8-Tetracyanoquinodimethane(이하 TCNQ)계 착체는 유기 전도성 재료로 널리 알려져 있으며 1960년대 처음으로 합성되었고 [5,6], 일반적으로 유기전하이동착체로서 전기전도성이 좋은 물질로 상온에서 그 값이  $10^2$  S/cm로 보고된 바도 있다[7,8]. 이러한 유기전도성 재료를 LB법을 이용하여 박막화하면 spin-coating법 등에 비하여 박막의 두께 및 분자수준에서의 배열과 배향을 자유롭게 제어할 수 있는 장점이 있다. 따라서 본 연구에서는 전보[9,10]에 이어, 기능성이 기대되는 TCNQ계 유기전하이동착체 LB초박막을 제작하여 광전도 특성을 측정하여 광전소자로서의 응용 가능성을 검토하고자 하였다.

## 2. 실험

### 2.1. LB 막의 제작

광전도 특성 측정을 위한 (N-docosyl quinolinium)-TCNQ(1:2)착체의 LB막 제작을 위하여, 분산용액은 분산용매로 acetonitrile-benzene(1:1,v/v)을 사용하여  $10^{-3}$ M의 농도로 하였으며, subphase는 pH가 약 6.0인 완충용액( $4 \times 10^{-4}$ M CdCl<sub>2</sub>와  $5 \times 10^{-5}$ M NaHCO<sub>3</sub>)을 사용하여 전보[9]와 같은 방법으로 subphase 온도 25 °C에서 고압 막(43 mN/m)과 저압 막(28 mN/m)으로 구분하여 Z-형으로 각각 누적하였으며, 누적 상태는 매우 양호하였다.

### 2.2. LB 막의 열처리

(N-docosyl quinolinium)-TCNQ(1:2)착체 LB막의 광전소자로서 사용 가능한 온도 범위를 알아보기 위하여, 제작된 LB막을 상온부터 180 °C까지 10 °C간격으로 열처리를 행하였다. 이 때 열처리는 주어진 온도에서 30분간 유지한 후 상온까지 냉각하였으며, 이를 UV-vis spectrometer로 평가하였다.

### 2.3. LB 막의 광전도 특성

LB막의 광전도 특성을 측정하기 위하여, 전보[11]의 방법으로 친수성 처리한 기판을 Fig. 1에 나타낸 구조를 갖는 소자로 제작하여 막의 수평방향에 대한 전류를 측정하였다.



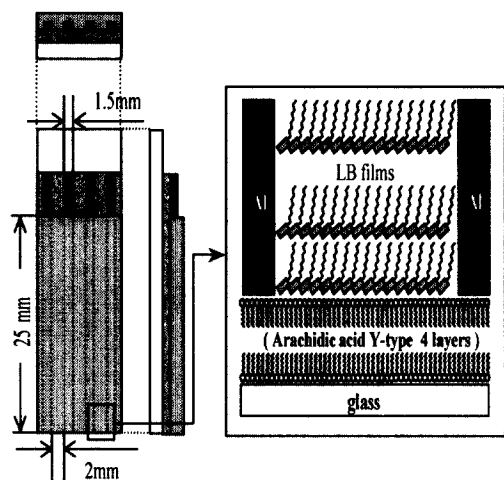


Fig. 1. Structure of the electrode for an electrical measurement.

이 때, 소자의 제작은 (N-docosyl quinolinium)-TCNQ(1:2) 착체를 누적하기 전에 기판의 표면 거칠기를 어느 정도 보상함과 동시에 광전류 측정시 기판 표면으로부터 전자가 이동할 수 있는 가능성을 막기 위하여 전기 절연성인 arachidic acid를 Y-형으로 4층 누적하였다. 또한 전극은 알루미늄을  $10^{-6}$  torr의 진공에서 진공증착하여 제작하였다. 한편, 전류의 측정은 제작된 소자들에 대한 외란을 방지하기 위하여 Al shield box를 사용하여 전압인 가에 따른 암 전류(dark current)를 대기 중에서 측정하였으며, 그 후 xenon 램프를 광원으로 한 Monochromator를 이용하여 단색광을 각각의 소자에 조사하면서 전류의 변화를 관측하였다. 이 때 광 량은  $5.65 \times 10^{12}$  photons/sec · cm<sup>2</sup>이었으며, slit을 이용하여 파장에 따른 광 량을 조절하였다. 또한 제작된 소자의

광 응답 특성을 알아보기 위하여 전압을 인가하지 않은 상태에서 처음 20초간 전류의 변화를 측정한 후 단색광을 20초간 조사하면서 전류의 변화를 측정하였다.

### 3. 결과 및 고찰

#### 3.1. LB 막의 열적 특성

LB막(11층)의 열처리에 의한 내부 또는 분자 사이의 특성을 평가한 결과를 Fig. 2에 나타내었다. Fig. 2에서와 같이 700 nm에서 TCNQ에 의한 흡수 피크가 나타나고 있으며, 저압 막과 고압 막 모두 140 °C 이상에서 흡광도가 급속히 감소함을 알 수 있다. 이것은 LB막의 구성분자인 TCNQ의 구조적인 변화로 인한 열화 때문인 것으로 생각되었다. 이를 확인하기 위하여 승온 속도를 2 °C/min으로 하여 (N-docosyl quinolinium)-TCNQ(1:2)착체 분말의 TG/DTA를 측정하여 그 결과를 Fig. 3에 나타내었다. Fig. 3에 나타낸 바와 같이 약 150 °C 부근에서의 흡열반응은 소수기인 alkyl chain의 열화 때문이고, 210 °C 부근에서의 발열반응은 TCNQ에 의한 화학적 변화 때문인 것으로 판단되었다. 한편, Fig. 2를 보면, Fig. 3과는 달리 TCNQ의 화학적 구조 변화가 더 낮은 온도에서 발생하는데 이러한 이유는 LB막의 경우 같은 시편을 반복해서 열처리하였기 때문에 열화가 더 빨리 진행하여 그 온도가 더 낮게 나타나는 것으로 생각되었다.

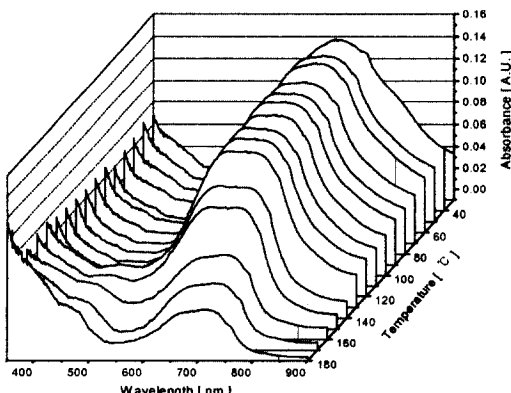
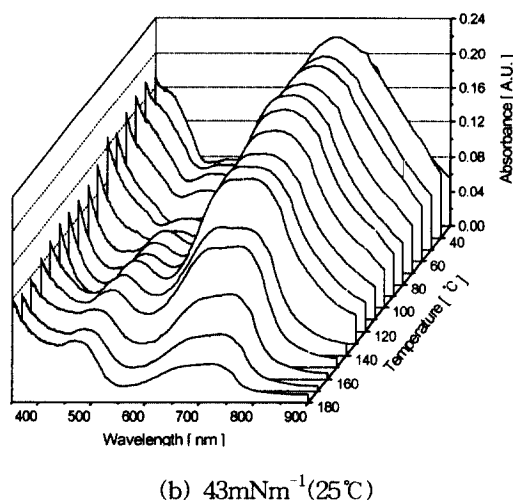
(a) 28mNm<sup>-1</sup>(25°C)(b) 43mNm<sup>-1</sup>(25°C)

Fig. 2. Temperature dependence of UV/vis absorption spectra of LB films.

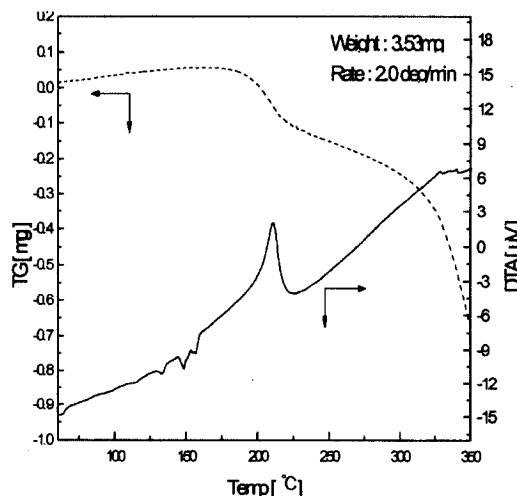


Fig. 3. TG and DTA curves of (N-docosyl quinolinium)-TCNQ(1:2) complex.

#### 3.2. LB 막의 광전도 특성

LB막(11층)의 수평방향에 대한 광전도 특성을 Fig. 4에 나타내었으며, 그 외의 다른 층에서도 이와 유사한 결과가 나타났다. Fig. 4에 나타낸 바와 같이 고압 막의 경우가 저압 막에 비해 높은 광 전류 값을 나타내고 있으며.

이는 고압 막의 경우가 저압 막의 경우보다 더 조밀하게 packing되어 donor와 acceptor간에 carrier의 이동이 더 용이하기 때문인 것으로 생각되었다. Fig. 4로부터 빛을 조사하였을 경우, 전기 전도도를 계산한 결과  $10^{-5}$  S/cm로 빛을 조사하지 않았을 경우보다 약 10배 정도 증가함을 알 수 있었다.

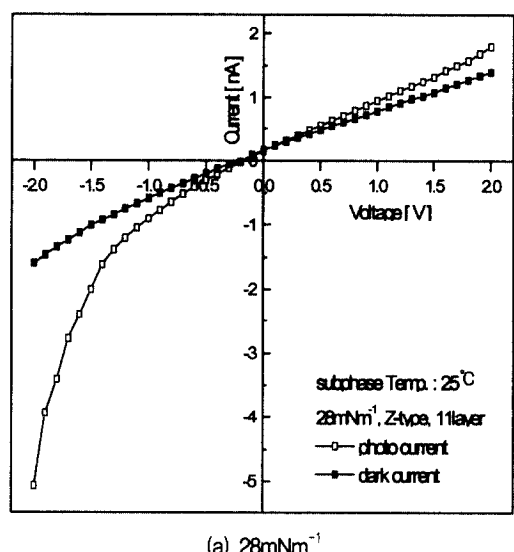
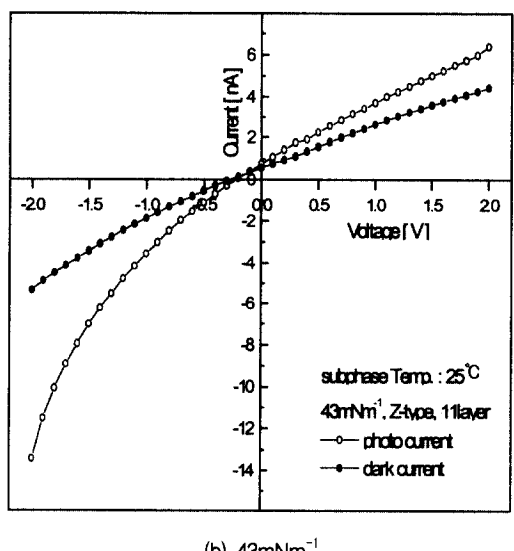
(a)  $28\text{mNm}^{-1}$ (b)  $43\text{mNm}^{-1}$ 

Fig. 4. Plots of I-V characteristics of LB films.

한편, Al shield box에 소자를 장치하고 외부의 광원에서 빛의 파장을 400 nm~900 nm까지 변화시켜 광 전류를 측정한 결과를 Fig. 5에 나타내었다. (N-docosyl quinolinium)-TCNQ(1:2) 착체 LB막의 UV/visible spectra 분석 결과 약 700 nm에서 intermolecular charge transfer에 의한 최대 빛의 흡수가 관측된 것과 같이[11], 빛의 파장 변화에 따른 광 전류도 700 nm부근에서 최대 값이 관측되었다.

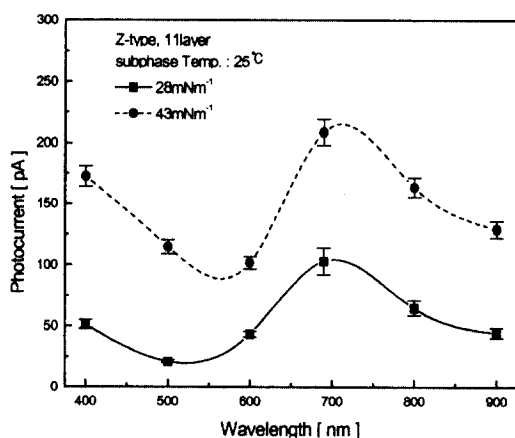


Fig. 5. Wavelength dependence of the photocurrent.

또한, Fig. 6에 빛의 세기 변화에 따른 광 전류를 나타내었다. Fig. 6에서와 같이 각 조건에서 누적된 LB막은 광 량이 증가할수록 광 전류가 서서히 증가하다가 약  $23 \mu\text{W}/\text{cm}^2$ 에서 가장 높게 나타나고 그 이후에서는 감소하는 것을 알 수 있다. 이와 같은 이유는 electron donor가 여기되어 하나의 전자가  $\pi$  orbital에서  $\pi^*$  orbital로 이동하는 전자전이 현상 때문인 것으로 생각되었으며, 이를 위한 최대 에너지는  $23 \mu\text{W}/\text{cm}^2$ 로서, 이 값은 Minbo Lan 등이 보고[12]한 PTCDI와 AmZnPc의 혼합 LB막의  $75 \text{ mW}/\text{cm}^2$ 에 비하여 매우 낮은 에너지에서 광응답 특성을 나타냄을 알 수 있었다.

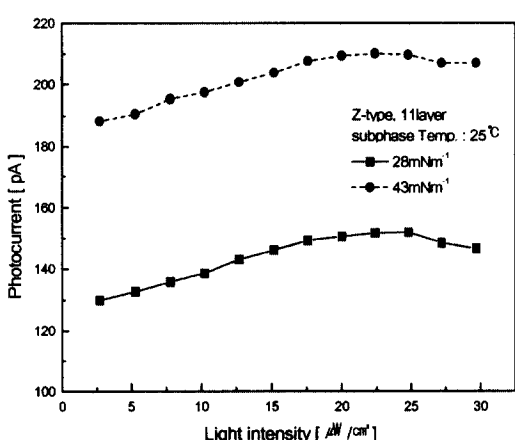


Fig. 6. Light intensity dependence of the photocurrent.

### 3.3. LB 막의 광 응답 특성

LB막에 전압을 인가하지 않은 상태에서 파장이 700 nm인 빛을 20초 간격으로 20초씩 조사하여 광 응답 특성을 측정한 결과를 Fig. 7에 나타내었다. Fig. 7에 나타낸 바와 같이 빛을 조사할 때마다 광 전류가 발생함을 알 수 있었으며, 고압 막에서 약 180 pA로 가장 높게 나타났다. 이러한 결과는 Fig. 5의 결과와 일치하고 있으며 양호한 광 응답성이 있음을 알 수 있었다.

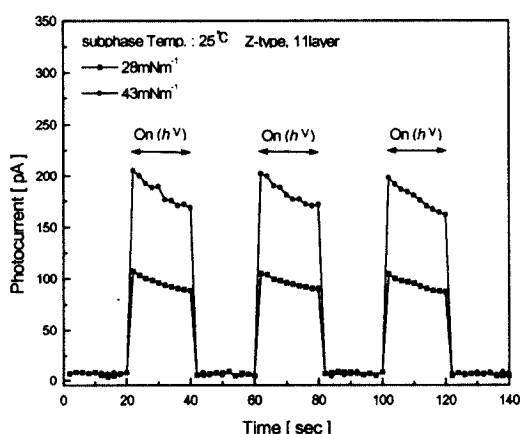


Fig. 7. Photocurrent response of LB films.

## 4. 결론

본 연구에서는 (N-docosyl quinolinium)-TCNQ(1:2) 착체를 성막 물질로 하여 Z-형의 LB막을 제작한 후 기초적인 광전소자로서의 가능성을 연구하였다. 그 결과 (N-docosyl quinolinium)-TCNQ 착체 LB막은 140 °C 이상에서 급격한 열화가 일어나며, 고압 막의 광 전도도는  $10^{-5} \text{ S/cm}$ 로 빛을 조사하지 않았을 경우보다 10배정도 증가하였으며, 약 700 nm 파장대의 빛에 의해 최대 광 전류가 관측되었다. 또한, 광 전류는 광 량이 증가할수록 증가하다가 약 23  $\mu\text{W}/\text{cm}^2$ 에서 포화됨을 알 수 있었고, 빛을 조사할 때마다 광 전류가 발생하여 양호한 광 응답 특성이 관측되었다. 이상의 결과로부터 (N-docosyl quinolinium)-TCNQ(1:2) 착체의 LB막은 양호한 광 응답 특성을 나타내며, subphase 온도가 25°C일 때 표면압 43 mN/m에서 제작된 고압 막에서 가장 높은 광전 특성을 나타내고 있음을 알 수 있었다.

## 감사의 글

본 연구는 1999년도 금오공과대학교 학술연구비 지원에 의하여 수행된 논문임을 알려드립니다.

## 참고문헌

- Ruaudel-Teixer, Barraud, A, *Mol. Cryst. Liq.*, **120**, 319 (1985).
- 손병청, 황교현, 정순욱, *한국유화학회지*, **11**(1), 39 (1994).
- 福田清成, 石井淑夫, 加藤貞二, “LB膜とエレクトロニクス”, p. 1, シーエムシー, Tokyo(1986).
- T. Nakamura, T. Seiguchi, and Y. Kawabata, J. J. Chem. Soc., **3**, 281 (1986).
- D. S. Acker, R. J. Harder, W. R. Hertler, W. Mahler, I. R. Melby, R. E. Benson,

- and W. E. Mochel, *J. Am. Chem. Soc.*, **82**, 6408 (1960).
6. D. S. Acker and W. R. Hertler, *J. Am. Chem. Soc.*, **84**, 3370 (1962).
7. I. R. Melby, R. J. Harder, W. R. Hertler, and W. Mahler, *J. Am. Chem. Soc.*, **84**, 3374 (1962).
8. J. J. Andre, A. Bieber, and F. Gautier, *Ann. Phys.*, **1**, 145 (1976).
9. 정순옥, 정희걸, *한국유화학회지*, **17**(1), 29 (2000).
10. 정순옥, 정희걸, *한국재료학회지*, **10**(8), 564 (2000).
11. 정순옥, 정희걸, *한국재료학회지*, **9**(12), 1229 (1999).
12. Minbo Lan, Shenwu Ren, Jianguang Jia, and Xurui Xiao, *Dyes and Pigments*, **33**(1), 79 (1997).